

海中構造物の変位の確率特性について

国鉄名古屋鉄道管理局 正員 ○ 池島幹雄

鳥取大学 工学部 正員 木村 昭

鳥取大学 工学部 正員 須山 明

1. はじめに：この研究は直円柱による構成された海中構造物の不規則波による変位の確率特性について検討したものである。海中構造物の変位特性を知ることはその安全性・振動率を知る上に大変重要なことである。従来、スペクトル法にもとづく構造物の変位特性の検討は数多く試みられており、その確率特性に関してはまだ十分な検討が行わされていない。これは構造物の変位は単に波力の確率特性を知らなければならず、その履歴までを知る必要があり、不規則波の場合これが困難であることにによる。この研究は、この波力の履歴の算定に、新たに不規則波の連の概念を導入し、変位の確率特性の解明を試みたものである。

2. 構造物の変位応答：不規則波力による構造物の変位は以下の仮定のもとに算定した。(1)ゼロアップクロス波の内部機構は微小振幅波理論で近似できる。(2)構造物に作用する波力はモリソンの式により算定される。(3)波力による構造物の変位は微小であり、構造物は線型・自由度系と見なし得る。(4)不規則波は narrow-band であり、zero-up-cross 波の周期はほぼ一定である。

モリソン式の線型化ならばに構造物の等価線型化は Halemann⁽¹⁾ と同じ方法によった。すなはち、モリソン式の波力項はフーリエ級数展開べより第 2 項まで作用した。

$$F(\theta) = F_0 \left[\frac{8}{3\pi} \sin(\theta - \pi/2) + \frac{8}{15\pi} \sin(3\theta + \pi/2) \right] + F_x \cdot \sin \theta \quad (1)$$

ただし、 F_x は抵抗力および慣性力の振幅である。

構造物を図-1 のように質量 m よび外力 $F(t)$ に集中するようは等価系で、変換すると、作用外力 $P_o(\theta)$ は変位が等しいという条件より

$$P_o(\theta) = F_0 f_0 \left[\frac{8}{3\pi} \sin(\theta + \pi/2) + \frac{8}{15\pi} \sin(3\theta + \pi/2) \right] + F_x f_x \cdot \sin \theta \quad (2)$$

となる。ここで f_0 は主共振力および慣性力の作用点変換のための係数である。

今この等価系に図-2 に示すように $\theta = 0$ から波が作用し始めて場合を考える。最初の波の 1 波長 T が作用した場合の構造物の変位は次式で経式

$$m\ddot{x} + c\dot{x} + kx = P_o(\theta) \quad (0 \leq \theta \leq 2\pi) \quad (3)$$

を解かねば得られない。ここで m ；荷重と含む構造物の質量、 c ；減衰定数、 k ；バネ刚度である。系は線型であるので系全体の変位は(3)式の各項が単独に作用した場合の変位の和として考えられる。今(3)式の右辺外力項 P_o のかわりに、 $F_0 \sin(\omega t + \varphi)$ 、($\omega = 2\pi/T$) とおいて 1 周期だけ作用した時の構造物の変位は、

$$\begin{aligned} x(t) &= \frac{F_0 e^{j\omega nt}}{2m\omega d} \cdot \frac{1}{\sqrt{(h\omega_m)^2 + (dw + \omega_d)^2}} \left[e^{j\omega nt} \cos[(dw + \omega_d)t - \omega_d t + \varphi - \beta_1] \right]_0^{t'} \\ &\quad - \frac{F_0 e^{-j\omega nt}}{2m\omega d} \cdot \frac{1}{\sqrt{(h\omega_m)^2 + (dw - \omega_d)^2}} \left[e^{j\omega nt} \cos[(dw - \omega_d)t + \omega_d t + \varphi - \beta_2] \right]_0^{t'} \end{aligned}$$

を求められる。 $\omega_m = \sqrt{\beta_m}$ 、 $\omega_d = \omega_m \sqrt{1 - h^2}$ 、 $h = C/2\sqrt{mk}$ 、 $\beta_1 = \tan^{-1}(dw + \omega_d)/\omega_d$ 、 $\beta_2 = \tan^{-1}(dw - \omega_d)/\omega_d$ であり、構造物の限界は $0 \leq t \leq T$ の時 $t = t'$ 、 $t > T$ の時 $t = T$ となる。したがって(3)式第 1 項による変位 $x_{11}(t)$ は、(3)式の $F_o = 8F_0 f_0 / 3\pi$ 、 $d = -1$ 、 $\varphi = \pi/2$ を代入すれば求められる。以下同様に、第 2 項による変位 $x_{12}(t)$

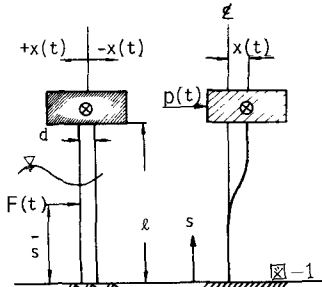


図-1

す $F = 8F_D \cdot f_0 / 15\pi$, $d = -3$, $\varphi = \pi/2$, 第3項による変位 $X_{13}(t)$ は $F = F_2 f_I$, $d = -1$, $\varphi = 0$ とおき代入すれば求められる。最終的に第1波の波による変位は3つの変位の和

$$X_1(t) = X_{11}(t) + X_{12}(t) + X_{13}(t) \quad (5)$$

が与えられる。以下 m 波目の波成、一波だけ作用した場合の変位を $X_m(t)$ ($t' = t - (m-1)T$) とすると、 m 周期目の波成作用しての構造物の変位 $X_m(t)$ は、

$$X_m(t) = \sum_i^m X_i(t) \quad (6)$$

となる。図-2からもわかる様に、1波だけによる変位はしばらくにわたり減衰し、その影響はあまり後へは及ばない。影響の及ぶ範囲を示す尺度として本研究では構造物の変位応答の整定期間 T_S を用いた。すなはち、入射波の周期下限 T との比から影響が何周期後まで及ぶかを決定した。例えば T/T_S は m 波成すべき波の履歴(組み合せ)は、これに波成作用して3間の1周期を加えた3周期となる。波高を適当な幅でランク分けし、各ランクに入る波高をその中央値で代表するとしてとする。図-2に示す3波 H_1, H_2, H_3 成立されランク1, 2, 3 に入れば無数の波高の組み合せの中から、3波成の組み合せが出現する確率は、

$$P_{ijk} = P_i \cdot P_j \cdot P_k \quad (7)$$

が与えられる。ここで P_i は波高がランク1に入れる確率であり、 P_j, P_k はそれぞれランク2, 3に入れる確率である。 $(m-1)T$ までの変位の $(m-1)T$ と mT の間の最大値と最小値の差を D_m として、存在しえるすべての D_m とその出現確率を計算すれば変位の確率分布を求めることができる。

図-3は $\omega/\omega_n = 0.3$, 減衰比 0.7 , $\zeta = 10.0$ にて時の確率分布²⁾, long waves としたものは、構造物が非常に浅い位置に設置された場合のもので、deep-water-waves は、深海域に設置された場合の結果である。相対的な関係は、波力の確率分布とほぼ同じである。図-4は減衰化の効果を検討したもので c/c_c が小さくなるほど mode が右に移動し、大きさは変位の出現確率が増大してくることがわかる。

以上、この研究が得た結果について述べたが、今後、実験的・理論的研究をあわせて行い、理論の妥当性を検討する必要があると考える。

最後に、この研究は文部省科学研究費による研究の一部であることを付記し感謝の意を表す。

参考文献

- 1) Harleman, D.R.F., W.C. Nolan, V.C. Honsinger; Proc. 8th Conf. Coastal Engg. pp. 482-499, 1962
- 2) 木村晃; 鳥取大学工学部研究報告, 第10巻第1号 pp.310~324, 1979.
- 3) 木村晃, 濵山明, 工野晃; 第27回海岸工学講演会論文集, pp.373~377, 1980.

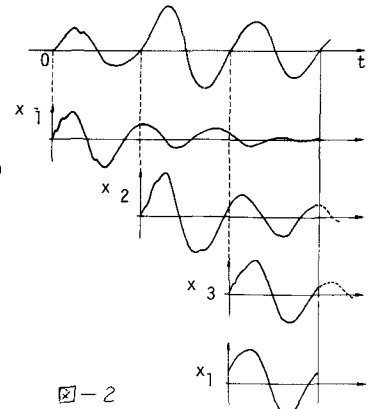


図-2

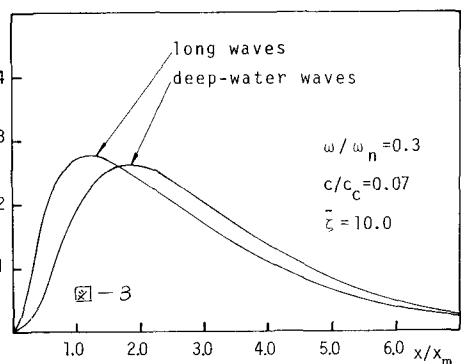


図-3

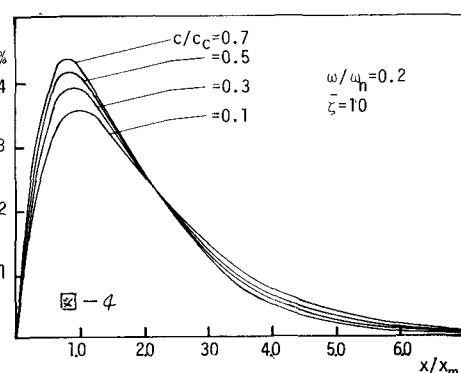


図-4